

ОСОБЛИВОСТІ РОЗМІРНОГО ЕФЕКТУ В ЕЛЕКТРОПРОВІДНОСТІ ДВОШАРОВИХ ПЛІВОК З ВІДМІННИМИ ТЕМПЕРАТУРНИМИ КОЕФІЦІЄНТАМИ ОПОРУ

А.М.Чорноус, ст.викл.; Ю.М.Овчаренко, асп.; О.В.Шовкопляс, асп.;
С.І.Проценко, студ.

ВСТУП

Апробація теоретичних моделей розмірної залежності температурного коефіцієнта опору (ТКО) для двошарових плівок [1,2] є складним завданням. В експериментальному плані виникають труднощі із з'ясуванням причин незбігання експериментальних результатів з розрахунковими. Серед факторів, які призводять до невідповідності даних експерименту та розрахунку, можна виділити три основні: технологічний, процеси взаємної дифузії, макронапруження термічного походження. Роль технологічного фактору можна звести до мінімуму, поставивши експеримент в чистих вакуумних умовах або технологічних, але провести розрахунки з використанням розмірних залежностей питомого опору та ТКО для одношарових плівок, одержаних в одинакових умовах із двошаровими, що і було зроблено в даній роботі.

Процеси взаємної дифузії призводять до зміни коефіцієнтів проходження та розсіювання на межі розділу між шарами та кристалітів, а також, в окремих випадках, до виникнення перехідного шару. Завдяки дії макронапружень термічного походження внаслідок деформації плівки можливо як збільшення, так і зменшення опору, відповідно зменшення та збільшення ТКО.

Метою роботи є дослідження розмірної залежності ТКО двошарових плівок Ti/Ni/П, Ni/Ti/П, Cu/Cr/П та a-Ge/Cr/П (а - аморфний, П - підкладка) та апробація теоретичних моделей [1, 2]. При цьому необхідно було розв'язати такі завдання. По-перше, експериментально дослідити кристалічну структуру та розмірну залежність опору та ТКО для одношарових (Ni, Ti, Cr, Cu, a-Ge) та двошарових на основі вказаних плівок металів. По-друге, провести розрахунок параметрів електропренесу одношарових та розмірної залежності ТКО двошарових плівок. По-третє, провести порівняння розрахункових та експериментальних результатів.

1 ТЕОРЕТИЧНІ МОДЕЛІ РОЗМІРНОГО ЕФЕКТУ В ЕЛЕКТРОПРОВІДНОСТІ

У роботі [1] Р. Дімміхом було одержано співвідношення для розмірної залежності ТКО двошарової полікристалічної плівки, яке було спрощено нами раніше [3] до вигляду, придатного для порівняння з експериментом:

$$\beta = A\beta_{g1} \left[1 - \frac{d \ln F_1}{d \ln k_1} - \frac{d \ln F_1}{d \ln l_1} \right] + B\beta_{g2} \left[1 - \frac{d \ln F_2}{d \ln k_2} - \frac{d \ln F_2}{d \ln l_2} \right], \quad (1)$$

де $A = \frac{d_1 \sigma_{01} F_1}{d_1 \sigma_{01} F_1 + d_2 \sigma_{02} F_2}$, $B = 1 - A$, $F_i = \frac{\sigma_i}{\sigma_{0i}}$ - функція Фукса (σ_i , σ_{0i} - питома провідність плівки та масивного зразка відповідно);

$k_i = \frac{d_i}{\lambda_{0i}}$, $l_i = \frac{L_i}{\lambda_{0i}}$ (d_i - товщина плівки, L_i - середній розмір кристалітів, λ_{0i} - середня довжина вільного пробігу носіїв електричного струму); β_{gi} - асимптотичне значення ТКО при $d_i \rightarrow \infty$.

Апробацію даного співвідношення для двошарових плівок на основі Cr, Ni та Co було проведено в цій же роботі [3]. Розрахунки на основі (1) дали можливість встановити загальні закономірності розмірного ефекту в ТКО двошарових плівок. Залежність $\beta(d_2)$ при $d_1 = \text{const}$ відрізняється від аналогічної для одношарових, в яких ТКО з ростом товщини монотонно збільшується, виходячи на асимптотичне значення β_g . У двошарових плівках можлива протилежна тенденція. Всі залежності $\beta(d_2)$ починаються в точках, які належать залежності $\beta(d_1)$ для базисного шару, і асимптотично наближаються знизу чи зверху (в залежності від співвідношень β_{g1} і β_{g2}) до величини β_{g2} .

Якщо перейти до граничного випадку двошарової плівки, де нижнім шаром є полікристалічний метал з питомим опором ρ_1 , а верхнім - аморфний напівпровідник, вираз (1) можна привести до вигляду:

$$\beta \approx A\beta_{g1} \left(1 - \rho_1 d_1 \frac{\partial \rho_1^{-1}}{\partial d_1} - \rho_1 L_1 \frac{\partial \rho_1^{-1}}{\partial L_1} \right) + B\beta_{g2}. \quad (2)$$

Тут враховано, що $L_2 \rightarrow 0$, а $\rho_2 \approx \text{const}$, починаючи з $d_2 \approx 15$ нм. Очевидно, що дане співвідношення має дуже наближений характер, оскільки воно одержано із (1), яке має місце лише для полікристалічних зразків.

В рамках макроскопічної моделі [2] вираз для ТКО двошарової плівки має вигляд

$$\beta = \beta_1 + \beta_2 - \frac{d_1 \beta_2 \rho_2 + d_2 \beta_1 \rho_1}{d_1 \rho_2 + d_2 \rho_1}. \quad (3)$$

Слід відзначити, що розрахункові залежності $\beta(d_1)$, зроблені на основі співвідношення (3), мають аналогічний характер тому, що одержані на основі (1) (де буде показано нижче на прикладі двошарових плівок Ti/Ni/П та Ni/Ti/П).

У двох граничних випадках $\frac{\rho_2}{\rho_1} < 1$ та $\frac{\rho_2}{\rho_1} > 1$ при $\frac{d_2}{d_1} \sim 1$ співвідношення (3) спрощується до вигляду

$$\beta \approx \beta_2 - \frac{d_1}{d_2} \frac{\rho_2}{\rho_1} \beta_2 \quad \left(\frac{\rho_2}{\rho_1} < 1 \right), \quad \beta \approx \beta_1 - \frac{d_2}{d_1} \frac{\rho_1}{\rho_2} \beta_1 \quad \left(\frac{\rho_2}{\rho_1} > 1 \right). \quad (4)$$

I, нарешті, коли $\frac{\rho_2}{\rho_1} \ll 1$ та $\frac{\rho_2}{\rho_1} \gg 1$, що має місце для плівкових структур на основі Cu і Cr та Ge і Cr, останній вираз можна записати таким чином:

$$\beta \approx \beta_2 \quad \left(\frac{\rho_2}{\rho_1} \ll 1 \right) \text{ та } \beta \approx \beta_1 \quad \left(\frac{\rho_2}{\rho_1} \gg 1 \right). \quad (4')$$

2 МЕТОДИКА ЕКСПЕРИМЕНТУ

Одно- та двошарові плівки на основі Cu, Ni, Ti, Cr та a-Ge були одержані шляхом термічного та електронно-променевого випаровування у «уумі» $\sim 10^{-3}$ Па на скляній підкладці при температурі 300К. Методика відображення електрофізичних властивостей плівок описана нами раніше [1]. У процесі виготовлення тонкоплівкових зразків проводився контроль складу залишкової атмосфери за допомогою мас-спектрометра MX-7304A. Як ілюстрація на рис.1 показано, як змінюється на мас-спектрах

інтенсивність ліній O_2^+ та $N_2^++CO^+$ на різних стадіях одержання плівок Cr, Cu, та Ge. Загальною особливістю досліджуваних плівок є поглинання кисню.

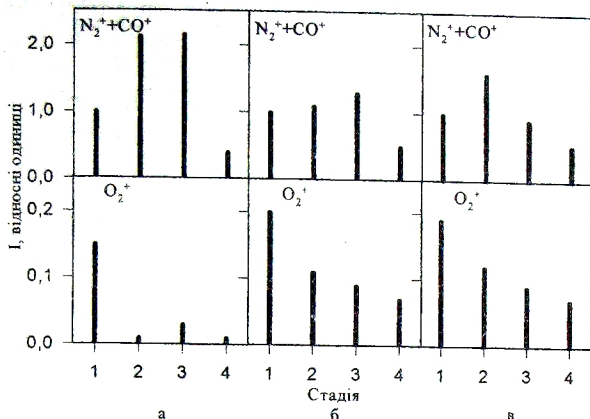


Рисунок 1. Зміна інтенсивності ліній $N_2^++CO^+$ та O_2^+ на мас-спектрах залишкових газів при конденсації плівок Cr (а), Cu (б), Ge (в) у вакуумі $\sim 10^{-3}$ Па: 1 - до конденсації; 2,3 - у процесі конденсації на екран та підкладку відповідно; 4 - після конденсації

3 РЕЗУЛЬТАТИ, ЇХ ОБРОБКА ТА ОБГОВОРЕННЯ

Двошарові металеві плівки. Розрахункові розмірні залежності для двошарових плівок Ni/Ti/P, Ti/Ni/P та Cu/Cr/P, проведені на основі (3), мають аналогічний вигляд, як і наведені у [4]. Рис.2 ілюструє залежність $\beta(d_2)$ при $d_1=const$ для плівок Ni/Ti/P (криві 3-5) та Ti/Ni/P (криві 6-8). На цьому ж рисунку лініями з точками нанесено експериментальну розмірну залежність для плівок Ni (1) та Ti (2).

Наведені (рис.2) розрахункові залежності $\beta(d_2)$ ($d_1=const$)

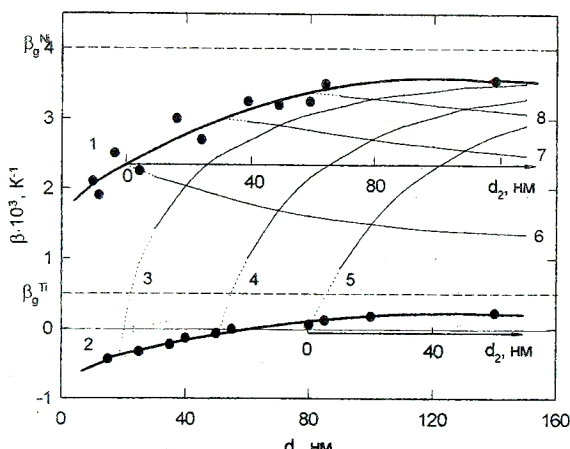


Рисунок 2. Залежність ТКО від товщини для двошарових плівок Ni/Ti/P та Ti/Ni/P: 1, 2 - експериментальна залежність $\beta(d_1)$ для плівок Ni та Ti; 3 - 5, 6 - 8 - розрахункові залежності $\beta(d_2)$ для плівок Ni/Ti/P, Ti/Ni/P

та взаємну дифузію атомів. Але на відміну від макроскопічної моделі для розрахунків на основі теорії Дімміха потрібно використовувати мікрокопічні параметри, які входять у логарифмічні похідні. Визначення цих похідних, на нашу думку, вносить похибку в розрахункове значення β згідно із співвідношенням (1).

Що стосується різної відмінності експериментальних та розрахункових даних ТКО, наведених в таблиці, то, на нашу думку, тут діє декілька механізмів, які проявляються різною мірою, пов'язаних із зміною (як збільшення, так і зменшення) коефіцієнтів проходження та розсіювання

носіїв електричного струму на межах зерен. Вони, як вже відмічалось, пов'язані, перш за все, з дифузійними процесами в двошарових системах. Про взаємну дифузію у двошарових плівках на основі Ni і Ti говорять дані, наведені в [4], а на основі Cu та Cr - в [5]. В свою чергу, дифузійні процеси можуть або послаблюватись, або підсилюватись дією макронапруженів в залежності від товщини плівки. Як показує таблиця 1, краще узгодження теорії та експерименту ми маємо у випадку відносно товстих зразків.

Таблиця 1 - Експериментальні та розрахункові значення ТКО для двошарових металевих плівок

Зразок (d, нм)	$\beta \cdot 10^3, \text{К}^{-1}$		$(\beta_{\text{розв}} - \beta_{\text{експ}}) / \beta_{\text{розв}}$		$\Delta S_{\text{рез}}^{*} \cdot 10^{-8}, \text{Па}$	
	Експеримент	Розрахункові дані				
	Співв.(1)	Співв.(3)	Співв.(1)	Співв.(3)		
Ti(20)/Ni(75)/П	2,98	3,89	3,17	0,25	0,06	
Ti(50)/Ni(175)/П	2,96	3,74	3,05	0,21	0,03	4,14÷5,80
Ti(115)/Ni(75)/П	2,78	3,45	2,83	0,20	0,02	
Ni(30)/Ti(15)/П	2,22	3,69	2,49	0,40	0,11	2,98÷3,89
Ni(30)/Ti(25)/П	2,15	3,48	2,40	0,38	0,10	
Cu(48)/Cr(15)/П	2,22	-	3,43	-	0,35	9,60
Cu(48)/Cr(55)/П	2,58	-	3,43	-	0,25	

* $\Delta S_{\text{рез}}$ – результатуюче значення макронапруженів термічного походження при $\Delta T=100K$

Закінчуячи обговорення даного питання, необхідно звернути увагу ще на один аспект. Він пов'язаний з утворенням проміжного шару в двошарових плівках (внаслідок слабої розчинності їх складових або через утворення бар'єрів (стопорів). Дане питання аналізувалось нами в роботі [6] на прикладі двошарових плівок Co/Cr/П та в [5]. Автори [5] якраз і пояснюють появу проміжного шару в пліковій системі Cu/Cr/П утворенням стопорів.

Не виключено, що у випадку Cu/Cr/П та Ni/Ti/П ми маємо справу з тришаровою плівкою, що деякою мірою може пояснити відмінність теоретичних та експериментальних результатів у даних системах.

Двошарові плівки a-Ge/Cr/П. Таблиця 2 дає уявлення про характер розмірної залежності ТКО двошарової плівки a-Ge/Cr/П

Таблиця 2 - Експериментальні та розрахункові значення ТКО для плівок a-Ge/Cr/П та Cr

Зразок (d, нм)	$\beta_{\text{експ}} \cdot 10^4, \text{К}^{-1}$		$\beta_{\text{теор}} \cdot 10^4, \text{К}^{-1}$		$(\beta_{\text{експ}} - \beta_{\text{розв}}^{*}) / \beta_{\text{розв}}$
			Співв.(2)	Співв.(3)	
	Cr	a-Ge/Cr/П	a-Ge/Cr/П	a-Ge/Cr/П	
a-Ge(50)/Cr(55)/П	0,30	0,33	0,38	0,30	0,10
a-Ge(50)/Cr(85)/П	0,41	0,44	0,36	0,41	0,07
a-Ge(50)/Cr(95)/П	0,46	0,50	0,34	0,46	0,09

* На основі співвідношення (3)

Як і у випадку розглянутих вище двошарових структур, гіршою відність розрахункових та експериментальних значень ТКО ся стерігається в рамках моделі Дімміха. Таку розбіжність можна пояснити виключно тим, що граничне співвідношення (2) одержано з (1),

яке описує розмірну залежність ТКО двошарових металевих полікристалічних плівок.

Одержані результати дають підставу говорити про те, що плівку а-Ge/Cr/P можна розглядати (у відношенні електричних властивостей) не як двошарову, а як плівку з покриттям. Відмінність величин ТКО Cr та а-Ge/Cr/P (як і у випадку плівок Ni з покриттям [7]) пояснюється зміною коефіцієнта проходження межі зерен (r) внаслідок дифузії атомів Ge по межах зерен у Cr. Атоми Ge, які локалізуються на межі зерен, частково заликовують дефекти структури, що обумовлює збільшення параметра r та відповідне збільшення ТКО. Розрахунки, проведені в рамках ізотропної моделі ТТП розмірного ефекту ТКО одношарових плівок [8], показують, що r збільшується приблизно на 5-6%.

ВИСНОВКИ

Висновки до даної роботи можна сформулювати таким чином. Незбігання розрахункових та експериментальних значень ТКО для двошарових плівок на основі Ti і Ni та Cr і Cu можна пов'язати з дифузійними процесами, які обумовлюють зміну коефіцієнтів проходження та розсіювання носіїв електричного струму на межі зерен, а в окремих випадках - утворення проміжного шару.

Систему а-Ge/Cr/P стосовно електричних властивостей можна розглядати не як двошарову, а як плівку Cr з покриттям. Збільшення ТКО такої плівки порівняно з конденсатами Cr пояснюється збільшенням коефіцієнта проходження межі зерен внаслідок дифузії атомів Ge.

SUMMARY

The size dependence of temperature coefficient of resistance (TCR) in double-layer Ti/Ni/S, Ni/Ti/S, Cu/Cr/S and а-Ge/Cr/S films (a - amorphous, S - substrate) has been researched. The difference between calculated and experimental values of TCR can be explained by interdiffusion processes and, in some cases, by formation of intermediate layer. The system а-Ge/Cr/S (electrical properties) can be considered as Cr film with overlayer.

СПИСОК ЛІТЕРАТУРИ

1. Dimmich R. Electrical Conductance and Temperature Coefficient of Double-Layer Films// Thin Solid Films.- 1988.- V.158, №1.- P.13-24.
2. Chornous A., Odnodvoretz L., Protsenko I. Size Effect in Temperature coefficient of Resistance in Multilayer Films Structure of General Type/ Book of Abstracts II International Conference MPSL'96.- Sumy: SSU, 1996.- P.74-75.
3. Кузьменко А.І., Проценко І.Ю., Чорноус А.М. Апробація теоретичної моделі Дімміха для електропровідності двошарових металевих плівок// Наукові праці Сумського педагогічного інституту. Серія: Фізика твердого тіла.- Суми: СДПІ.- 1993.- С.29-34.
4. Проценко І.Ю., Чорноус А.М. Розмірний ефект в електропровідності двошарових полікристалічних плівок в умовах взаємної дифузії металів// Вісник Сумського університету.- 1994.- №1.- С.19-25.
5. Волошко С.М., Сидоренко С.И., Макеева И.Н. Исследование взаимной диффузии в тонкопленочной системе Cr-Cu-Ni-Au методом электронной оже-спектроскопии // Металлофизика и новейшие технологии.- 1994.- №10(16) - С.61-68.
6. Проценко И.Е., Петренко С.В., Чорноус А.Н., Однодворец Л.В. Элементный состав и диффузационные процессы в многослойных пленочных системах// ВАНТ.- 1994.- №1(27).- С.88-89.
7. Овчаренко Ю.М., Опанасюк Н.М., Проценко І.Ю., Шовкопляс О.В. Розрахунок параметрів електропереносу тонких металевих плівок в умовах зовнішнього та внутрішнього розмірних ефектів// УФЖ (прийнято до друку).
8. Tellier C.R., Boufrit C.A. Comparison Between Linearized Expression of the Polycrystalline Metallic Film Conductivity Under the Assumption of Isotropic Grain-boundary scattering // J.Mater.Sci.- 1981.- №7.- P.944-948.

Надійшла до редколегії 25 березня 1997 р.